

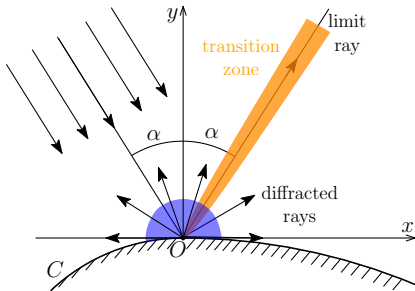
Коротковолновая дифракция на контурах с негладкой кривизной

Е. А. Злобина, А. П. Киселев

Работа поддержана грантом РНФ №22-21-00557

Москва, 7 ноября 2022

Дифракция на негладкости кривизны. Некасательное падение

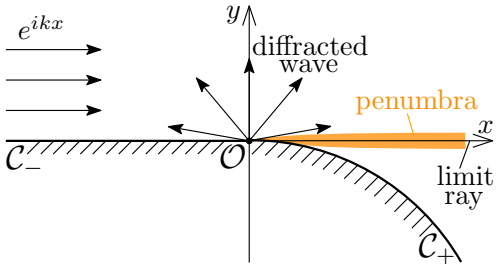


Скачок кривизны:
V. H. Weston (1962, 65);
T. B. A. Senior (1972);
L. Kaminetzky & J. B. Keller (1972);
Z. M. Rogoff & A. P. Kiselev (2001),
и др.

Скачок или степенная особенность кривизны или ее производной:
Е. А. Злобина и А. П. Киселев (2018–2022).

Описано поле вблизи предельного луча, найдено выражение для
дифрагированной волны.

Дифракция от скачка кривизны. Касательное падение

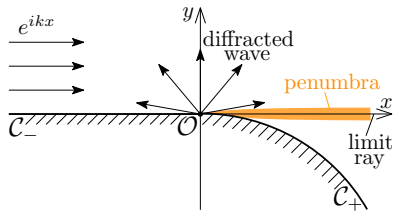


А. В. Попов *Обратное рассеяние от линии разрыва кривизны*, Труды V Всесоюзн. Симпоз. по Дифр. Распр. Волн, 1971.

Затем другие конфигурации рассматривали Н. Я. Кирпичникова, В. Б. Филиппов, А. С. Кирпичникова (1995–1999).

Постановка задачи

Предполагается гармоническая зависимость от времени $e^{-i\omega t}$.



Уходящая волна u^{out} удовлетворяет уравнению Гельмгольца

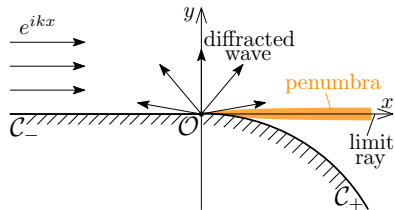
$$(\partial_x^2 + \partial_y^2 + k^2)u^{\text{out}} = 0, \quad k \gg 1,$$

и граничному условию Неймана

$$\partial_n (u^{\text{out}} + e^{ikx})|_{\mathcal{C}} = 0.$$

Постановка задачи

Предполагается гармоническая зависимость от времени $e^{-i\omega t}$.



Уходящая волна u^{out} удовлетворяет уравнению Гельмгольца

$$(\partial_x^2 + \partial_y^2 + k^2)u^{\text{out}} = 0, \quad k \gg 1,$$

и граничному условию Неймана

$$\partial_n (u^{\text{out}} + e^{ikx})|_{\mathcal{C}} = 0.$$

Вблизи \mathcal{O} кривизна контура \mathcal{C} имеет вид

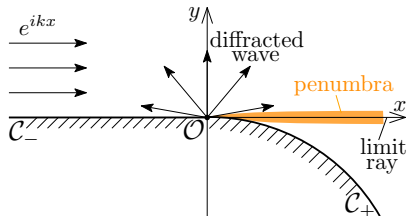
$$\mathcal{C}(x) = h\theta(x),$$

где $h > 0$ — значение кривизны \mathcal{C}_+ в точке \mathcal{O} , а

$$\theta(x) = \begin{cases} 1, & x > 0, \\ 0, & x \leq 0 \end{cases}$$

— функция Хевисайда.

Предсказания Геометрической Теории Дифракции



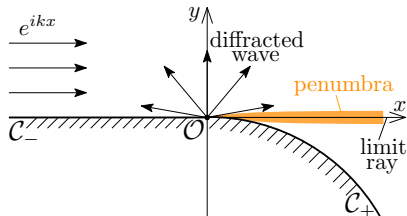
Вдали от предельного луча
 $u^{\text{out}} \equiv u^{\text{dif}}$, причем

$$u^{\text{dif}} \approx A(\varphi; k) \frac{e^{ikr}}{\sqrt{kr}}, \quad kr \gg 1.$$

Здесь $A(\varphi; k)$ — дифракционный коэффициент, и

$$x = r \cos \varphi, \quad y = r \sin \varphi, \quad 0 \leq r < \infty, \quad -\pi \leq \varphi < \pi.$$

Предсказания Геометрической Теории Дифракции



Вдали от предельного луча
 $u^{\text{out}} \equiv u^{\text{dif}}$, причем

$$u^{\text{dif}} \approx A(\varphi; k) \frac{e^{ikr}}{\sqrt{kr}}, \quad kr \gg 1.$$

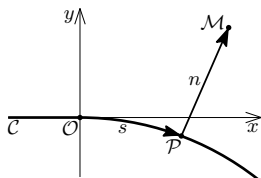
Здесь $A(\varphi; k)$ — дифракционный коэффициент, и

$$x = r \cos \varphi, \quad y = r \sin \varphi, \quad 0 \leq r < \infty, \quad -\pi \leq \varphi < \pi.$$

А. В. Попов

- определил дифракционный коэффициент
- не интересовался полем в тени и полутени

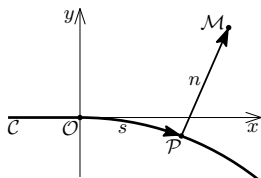
Локальные координаты (s, n)



$\mathfrak{A}(x) = h\theta(x)$:

$$\begin{cases} x = s + \theta(s) \left(hns - \frac{h^2 s^3}{6} + O(h^3 s^3(n + hs^2)) \right), \\ y = n - \theta(s) \left(\frac{hs^2}{2} + O(h^2 s^2(n + hs^2)) \right). \end{cases}$$

Локальные координаты (s, n)



$\mathfrak{A}(x) = h\theta(x)$:

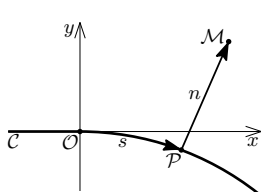
$$\begin{cases} x = s + \theta(s) \left(hns - \frac{h^2 s^3}{6} + O(h^3 s^3(n + hs^2)) \right), \\ y = n - \theta(s) \left(\frac{hs^2}{2} + O(h^2 s^2(n + hs^2)) \right). \end{cases}$$

Вблизи \mathcal{O} падающая волна имеет вид

$$u^{\text{inc}} = e^{ikx} = e^{iks} V,$$

где V осциллирует медленнее e^{iks} .

Локальные координаты (s, n)



$\mathbf{æ}(x) = h\theta(x)$:

$$\begin{cases} x = s + \theta(s) \left(hns - \frac{h^2 s^3}{6} + O(h^3 s^3(n + hs^2)) \right), \\ y = n - \theta(s) \left(\frac{hs^2}{2} + O(h^2 s^2(n + hs^2)) \right). \end{cases}$$

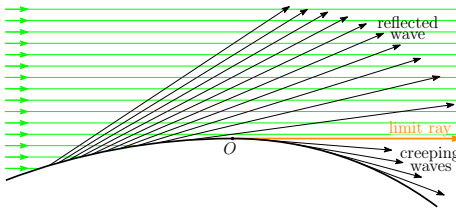
Вблизи O падающая волна имеет вид

$$u^{\text{inc}} = e^{ikx} = e^{iks} V,$$

где V осциллирует медленнее e^{iks} .

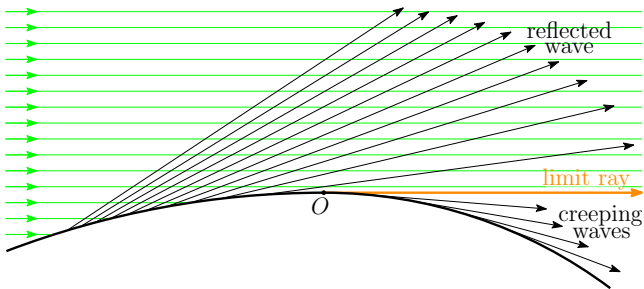
Так же было в классической задаче дифракции на гладком выпуклом теле.

Задача Леонтовича—Фока



- В. А. Фок, “Проблемы дифракции и распространения электромагнитных волн”, 1965
- W. P. Brown, *On the asymptotic behavior of electromagnetic fields scattered from convex cylinders near grazing incidence*, Math. An. & Appl., 1966
- В. М. Бабич, Н. Я. Кирпичникова, “Метод пограничного слоя в задачах дифракции”, 1972

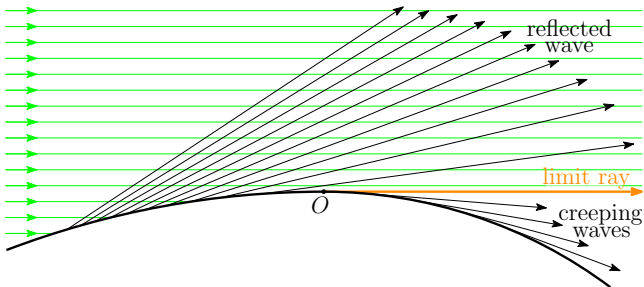
Метод параболического уравнения Леонтовича—Фока



Действуем в духе классического подхода:

- выделяем быстроосциллирующий множитель e^{iks}
- вводим растянутые переменные
- сводим исходную задачу к задаче для параболического уравнения Леонтовича—Фока

Метод параболического уравнения Леонтовича—Фока



Растянутые переменные:

$$\sigma = (h^2 k / 2)^{\frac{1}{3}} s, \quad \nu = (2 h k^2)^{\frac{1}{3}} n, \quad k/h \gg 1.$$

Анзац для уходящей волны:

$$u^{\text{out}} = e^{iks} U(\sigma, \nu) = e^{iks} \left(U_0(\sigma, \nu) + O\left((h/k)^{\frac{2}{3}}\right) \right),$$

U — множитель ослабления.

Сведение к параболическому уравнению

$$\begin{cases} k(x-s) = \theta(\sigma) \left(\nu\sigma - \frac{\sigma^3}{3} + O \left((h/k)^{\frac{2}{3}} \sigma^3 (\nu + \sigma^2) \right) \right), \\ (2hk^2)^{\frac{1}{3}} y = \nu - \theta(\sigma) \left(\sigma^2 + O \left((h/k)^{\frac{2}{3}} \sigma^2 (\nu + \sigma^2) \right) \right). \end{cases}$$

Множитель ослабления падающей волны $e^{ikx} = e^{iks}V$:

$$V(\sigma, \nu) = 1 - \theta(\sigma) + \theta(\sigma) e^{i(\sigma\nu - \sigma^3/3)} + O \left((h/k)^{\frac{2}{3}} \sigma^3 (\nu + \sigma^2) \right).$$

Сведение к параболическому уравнению

$$\begin{cases} k(x-s) = \theta(\sigma) \left(\nu\sigma - \frac{\sigma^3}{3} + O \left((h/k)^{\frac{2}{3}} \sigma^3 (\nu + \sigma^2) \right) \right), \\ (2hk^2)^{\frac{1}{3}} y = \nu - \theta(\sigma) \left(\sigma^2 + O \left((h/k)^{\frac{2}{3}} \sigma^2 (\nu + \sigma^2) \right) \right). \end{cases}$$

Множитель ослабления падающей волны $e^{ikx} = e^{iks} V$:

$$V(\sigma, \nu) = 1 - \theta(\sigma) + \theta(\sigma) e^{i(\sigma\nu - \sigma^3/3)} + O \left((h/k)^{\frac{2}{3}} \sigma^3 (\nu + \sigma^2) \right).$$

NB: малость остаточных членов требует ограничений на расстояние до точки негладкости \mathcal{O} :

$$\sigma \ll (k/h)^{\frac{2}{15}}, \quad \nu \ll (k/h)^{\frac{4}{15}}.$$

Сведение к параболическому уравнению

$$\begin{cases} k(x-s) = \theta(\sigma) \left(\nu \sigma - \frac{\sigma^3}{3} + O \left((h/k)^{\frac{2}{3}} \sigma^3 (\nu + \sigma^2) \right) \right), \\ (2hk^2)^{\frac{1}{3}} y = \nu - \theta(\sigma) \left(\sigma^2 + O \left((h/k)^{\frac{2}{3}} \sigma^2 (\nu + \sigma^2) \right) \right). \end{cases}$$

Множитель ослабления падающей волны $e^{ikx} = e^{iks} V$:

$$V(\sigma, \nu) = 1 - \theta(\sigma) + \theta(\sigma) e^{i(\sigma\nu - \sigma^3/3)} + O \left((h/k)^{\frac{2}{3}} \sigma^3 (\nu + \sigma^2) \right).$$

NB: малость остаточных членов требует ограничений на расстояние до точки негладкости \mathcal{O} :

$$\sigma \ll (k/h)^{\frac{2}{15}}, \quad \nu \ll (k/h)^{\frac{4}{15}}.$$

Задача для множителя ослабления U_0 :

$$\begin{cases} \partial_\nu^2 U_0 + i \partial_\sigma U_0 + \nu \theta(\sigma) U_0 = 0, \\ \partial_\nu U_0|_{\nu=0} = -i \theta(\sigma) \sigma e^{-i\sigma^3/3}. \end{cases}$$

Решение задачи для U_0

Ищем U_0 в виде интеграла Фурье:

$$U_0(\sigma, \nu) = \frac{1}{2\pi} \int_{-\infty}^{\infty} \widehat{U}_0(\xi, \nu) e^{i\sigma\xi} d\xi.$$

Тогда получим

$$\begin{cases} \partial_{\nu}^2 \widehat{U}_0(\xi, \nu) - \xi \widehat{U}_0(\xi, \nu) + \frac{i\nu}{2\pi} \int_{-\infty}^{\infty} \frac{\widehat{U}_0(t, \nu)}{t - (\xi - i0)} dt = 0, \\ \partial_{\nu} \widehat{U}_0 \Big|_{\nu=0} = I'(\xi). \end{cases}$$

Здесь

$$I(\xi) = \int_0^{\infty} e^{-i(\sigma\xi + \sigma^3/3)} d\sigma$$

— неоднородная функция Эйри (функция Скорера): $I''(\xi) - \xi I(\xi) = -i$.

Решение задачи для U_0

Решение, отвечающее уходящей волне для временной зависимости $e^{-i\omega t}$:

$$\widehat{U}(\xi, \nu) = -\frac{I'(\xi)}{w'_1(\xi)} w_1(\xi - \nu).$$

Здесь w_1 — классическая функция Эйри в обозначениях Фока:

$$w_1(z) = \text{Bi}(z) + i\text{Ai}(z) = \int_{\gamma} e^{zt - \frac{t^3}{3}} dt, \quad \gamma : \infty e^{-\frac{2i\pi}{3}} \rightarrow 0 \rightarrow +\infty.$$

Тогда

$$U_0(\sigma, \nu) = -\frac{1}{2\pi} \int_{-\infty}^{\infty} \frac{I'(\xi)}{w'_1(\xi)} w_1(\xi - \nu) e^{i\sigma\xi} d\xi.$$

Решение задачи для U_0

Решение, отвечающее уходящей волне для временной зависимости $e^{-i\omega t}$:

$$\widehat{U}(\xi, \nu) = -\frac{\textcolor{red}{v}'(\xi)}{w'_1(\xi)} w_1(\xi - \nu).$$

Здесь w_1 — классическая функция Эйри в обозначениях Фока:

$$w_1(z) = \text{Bi}(z) + i\text{Ai}(z) = \int_{\gamma} e^{zt - \frac{t^3}{3}} dt, \quad \gamma : \infty e^{-\frac{2i\pi}{3}} \rightarrow 0 \rightarrow +\infty.$$

Тогда

$$U_0(\sigma, \nu) = -\frac{1}{2\pi} \int_{-\infty}^{\infty} \frac{\textcolor{red}{v}'(\xi)}{w'_1(\xi)} w_1(\xi - \nu) e^{i\sigma\xi} d\xi.$$

Формулы Фока для классического случая дифракции на гладком теле получаются заменой

$$I(\xi) \longleftrightarrow \textcolor{red}{v}(\xi) \equiv \text{Ai}(\xi).$$

Решение задачи для U_0

Решение, отвечающее уходящей волне для временной зависимости $e^{-i\omega t}$:

$$\widehat{U}(\xi, \nu) = -\frac{I'(\xi)}{w'_1(\xi)} w_1(\xi - \nu).$$

Здесь w_1 — классическая функция Эйри в обозначениях Фока:

$$w_1(z) = \text{Bi}(z) + i\text{Ai}(z) = \int_{\gamma} e^{zt - \frac{t^3}{3}} dt, \quad \gamma : \infty e^{-\frac{2i\pi}{3}} \rightarrow 0 \rightarrow +\infty.$$

Тогда

$$U_0(\sigma, \nu) = -\frac{1}{2\pi} \int_{-\infty}^{\infty} \frac{I'(\xi)}{w'_1(\xi)} w_1(\xi - \nu) e^{i\sigma\xi} d\xi.$$

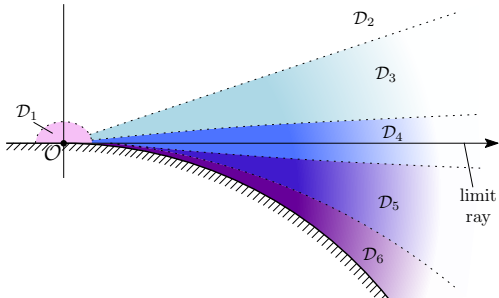
Формулы Фока для классического случая дифракции на гладком теле получаются заменой

$$I(\xi) \longleftrightarrow \textcolor{red}{v}(\xi) \equiv \text{Ai}(\xi).$$

NB: $U_0 = 0$ при $\sigma \leq 0$; везде далее $\sigma > 0$.

Исследование U_0

$$U_0(\sigma, \nu) = -\frac{1}{2\pi} \int_{-\infty}^{\infty} \frac{I'(\xi)}{w_1'(\xi)} w_1(\xi - \nu) e^{i\sigma\xi} d\xi.$$

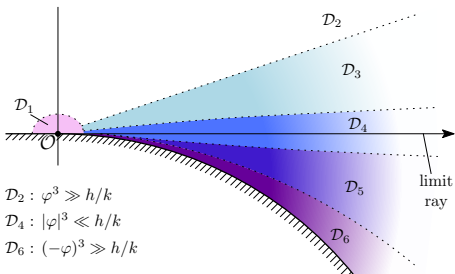


Область \mathcal{D}_1 : и σ , и ν не большие. Коротковолновое асимптотическое упрощение невозможno.

Исследуем U_0 в областях \mathcal{D}_2 – \mathcal{D}_6 , где $\nu + \sigma \gg 1$.

Там имеем интеграл от быстроосциллирующей функции.

Спецфункции в интеграле заменяются асимптотиками.



$$\begin{aligned} \mathcal{D}_2 : \varphi^3 &\gg h/k \\ \mathcal{D}_4 : |\varphi|^3 &\ll h/k \\ \mathcal{D}_6 : (-\varphi)^3 &\gg h/k \end{aligned}$$

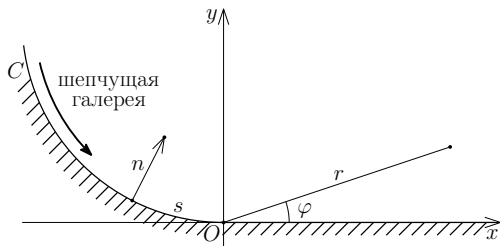
$$\begin{aligned} \mathcal{D}_2 : u^{\text{out}} &\approx \sqrt{\frac{2}{\pi}} \frac{h}{k} \frac{2}{\varphi^4} e^{-i\frac{\pi}{4}} \frac{e^{ikr}}{\sqrt{kr}} \\ \mathcal{D}_3 : u^{\text{out}} &\approx \frac{e^{iks+i\frac{2}{3}\nu^{\frac{3}{2}}-i\frac{\pi}{4}}}{2\pi\nu^{\frac{1}{4}}} \int \frac{H'(\xi)}{w'_1(\xi)} e^{i(\sigma-\sqrt{\nu})\xi} d\xi \\ \mathcal{D}_5 : u &\approx \frac{e^{iks+i\frac{2}{3}\nu^{\frac{3}{2}}-i\frac{\pi}{4}}}{2\pi\nu^{\frac{1}{4}}} \int \frac{H'(\xi)}{w'_1(\xi)} e^{i(\sigma-\sqrt{\nu})\xi} d\xi \\ \mathcal{D}_6 : u &\approx - \sum_{j=1}^N \frac{iI'(\zeta_j)}{\zeta_j w_1(\zeta_j)} w_1(\zeta_j - \nu) e^{iks+i\sigma\zeta_j} \end{aligned}$$

$$\begin{aligned} \mathcal{D}_4 : u &\approx e^{ikx} \Phi \left(\sqrt{\frac{kr}{2}} \varphi \right) + \\ &+ \frac{e^{i\left(ks+\frac{2}{3}\nu^{\frac{3}{2}}-i\frac{\pi}{4}\right)}}{2\pi\nu^{\frac{1}{4}}} \left(\int_{-\infty}^0 \frac{H'(\xi)}{w'_1(\xi)} e^{i\xi(\sigma-\sqrt{\nu})} d\xi - i \int_0^\infty \frac{I'(\xi)}{w'_1(\xi)} e^{i\xi(\sigma-\sqrt{\nu})} d\xi \right) \end{aligned}$$

Здесь

$$I(z) = \int_0^\infty e^{-i(zt+t^3/3)} dt, \quad H(z) = \int_0^\infty e^{zt-t^3/3} dt, \quad \Phi(z) = \frac{e^{-i\pi/4}}{\sqrt{\pi}} \int_{-\infty}^z e^{it^2} dt.$$

Дифракция волны шепчущей галереи



Слева — дуга окружности радиуса a ,
справа — прямая.

Поле u удовлетворяет
уравнению Гельмгольца

$$(\partial_x^2 + \partial_y^2 + k^2)u = 0, \quad k \gg 1$$

и граничному условию
Неймана

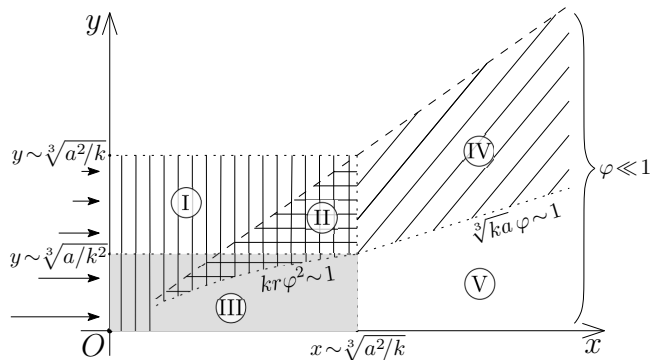
$$\partial_n u|_C = 0.$$

При удалении от границы
 $u \rightarrow 0$.

$$u^{\text{inc}} = e^{iks} U^{\text{inc}}, \quad U^{\text{inc}} = e^{-i\tau' (k/2a^2)^{1/3} s} v \left(\left(\frac{2k^2}{a} \right)^{1/3} n - \tau' \right).$$

$v \equiv \text{Ai}$ — функция Эйри, $v'(-\tau') = 0$.

Структура пограничных слоев



Спасибо за внимание!